

ΕΕ725 - Ειδικά Θέματα Ψηφιακών

Επιχονιωνιών

Δημήτρης - Αλέξανδρος Γουμπαράρης

10ο Μάθημα - 18 Ιανουαρίου 2008

Περιεχόμενα σημερινού μαθήματος

- Στατιστικά μοντέλα κανάλιού
 - Tse & Viswanath, Ch.2
- Μετάδοση στο ασύρματο κανάλι

Περίληψη προηγούμενου μαθήματος

- 2 βασικές φανόμενα στο κανάλι κυρτών επικονιωνών:
 - Πολυδιαδρομή διάδοση (*multipath*): Δημιουργεί επιλεκτικότητα καναλιού στη συχνότητα. Ποσοτικοποιείται με χρήση του εύρους ζώνης συμφωνίας ή της διασποράς πολυδιαδρομής διάδοσης.
 - Διαλείψεις λόγω κίνησης (φανόμενο *Doppler*): Δημιουργεί μεταβολή των *taps* του καναλιού στο χρόνο. Ποσοτικοποιείται με χρήση του χρόνου συμφωνίας ή της διασποράς *Doppler*.
- Η επιλεκτικότητα στο χρόνο και στη συχνότητα δημιουργεί προβλήματα στην εκτίμηση του καναλιού. Ωστόσο, από την άλλη, μπορούμε να κερδίσουμε σε αξιοπιστία μετάδοσης χρησιμοποιώντας τεχνιές διαφορισμού (*diversity*) στο χρόνο ή στη συχνότητα.

Πύρακας Συσχέτισης Καναλιού

- $R_h(\Delta f, \Delta t) = E\{H(f, t)H^*(f - \Delta f; t - \Delta t)\}$.
- Συνάρτηση συσχέτισης συχνότητας (frequency correlation function): $p_h(\Delta f) \triangleq R_h(\Delta f, 0)$. Το εύρος ζώνης συμφωνίας (coherence bandwidth) ισούται με το ‘εύρος’ της $p_h(\Delta f)$.
- Καπανομή ισχύος στο χρόνο (Delay power profile): $p_h(\tau) = \mathcal{F}^{-1}\{p_h(\Delta f)\}$. Το multipath delay spread ισούται με το ‘εύρος’ της $p_h(\tau)$.
- Συνάρτηση χρονικής συσχέτισης (time correlation function): $p_h(\Delta t) = R_h(0, \Delta t)$. Ποσοτικούται τη μεταβολή του καναλιού στο χρόνο (λόγω κίνησης).
- Φόρμα ισχύος Doppler (Doppler power spectrum): $\Phi_h(v) = \mathcal{F}\{p_h(\Delta t)\}$. Το doppler delay spread ισούται με το ‘εύρος’ της $\Phi_h(v)$, ενώ ο χρόνος συμφωνίας του καναλιού (coherence time) είναι ανάλογος του αντιστρόφου της του doppler delay spread, όπως είδαμε.

Στατιστικά Μοντέλα

- Οι παρόμετροι που αναφέρουμε παραπόνω (αριθμός και κατανομή των **tags** h_i , **multipath spread**, **coherence time**) διαφέρουν ανάλογα με το κανάλι (το οποίο, με τη σειρά του εξαρτάται από παράγοντες όπως το περιβάλλον, η φέρουσα συχνότητα f_c , το υψηλός ζώνης W που χρησιμοποιεί το σύστημα, η ταχύτητα κλπ).
- Για να σχεδιάσουμε συστήματα χρειαζόμαστε στατιστικά μοντέλα που να περιγράφουν τα κανάλια κινητών επικοινωνιών.
- Τα μοντέλα αυτά φτιάχνονται είτε προσπαθώντας να τα ταιριάζουμε με μετρήσεις, είτε θεωρητικά, κάνοντας όσο το δυνατόν πιο βεβαιωτικές παραδοχές.
- Ένα μοντέλο πρέπει να είναι αρκετά λεπτομερές ώστε να περιγράψει καλά το κανάλι, αλλά και αρκετά απλό/γενικό ώστε να καλύπτει όλα τα παρόμοια κανάλια. Γενικά η μοντελοποίηση καναλιών κινητών τηλεπικοινωνιών δεν είναι μια απλή διαδικασία.

Σ τατιστικά Μοντέλα (2)

- Είδαμε ότι, εάν η καθυστέρηση όδευσης και η εξασθένηση δε μεταβάλλονται σημαντικά με τη συχνότητα, $y(t) \approx \sum_i a_i(t)x(t - \tau_i(t)) + w(t)$.
- Μπορεί να αποδειχθεί (βλ. π.χ. **Tse & Viswanath**) ότι αν δειγματοληπτήσουμε ανά $\frac{1}{W}$ (και κάνουμε κάποιες υποθέσεις) μπορούμε να γράψουμε $y[m] = \sum_l h_l[m]x[m-l] + w[m]$, όπου $h_l[m] = \sum_i a_i\left(\frac{m}{W}\right) e^{-j2\pi f_c \tau_i\left(\frac{m}{W}\right)} \text{sinc}\left[l - \tau_i\left(\frac{m}{W}\right) W\right]$.
- Πολύ συχνά θεωρούμε το κανάλι $y[m] = \sum_l h_l[m]x[m-l] + w[m]$ και μοντελοποιούμε τα taps $h_l[m]$.

Διάλειψη Rayleigh

- Θεωρούμε ότι κάθε tap είναι το αποτέλεσμα της συμβολής ενός μεγάλου αριθμού στατιστικά ανεξάρτητων αναλόγων και σκεδαζόμενων μονοπατών με τυχαίες τιμές πλάτους.
- Θεωρούμε, επίσης, ότι ο φάσεις των μονοπατών είναι κατανευμένες ομοιόμορφα στο διάστημα $[0, 2\pi]$ και ότι είναι ανεξάρτητες μεταξύ τους.
- Με αυτές τις παραδοχές, το tap $h_t[m]$ είναι μια κυκλική συμμετρική γκαουσιανή τ.μ. $\mathcal{CN}(0, \sigma_t^2)$.
- Κυκλική συμμετρική (μηγαδική) τ.μ. \mathbf{X} : 'Όταν η $e^{j\theta}\mathbf{X}$ ακολουθεί την ίδια κατανομή με τη \mathbf{X} για οποιαδήποτε γωνία θ . Αποδεικνύεται ότι $E[\mathbf{X}] = \mathbf{0}$.

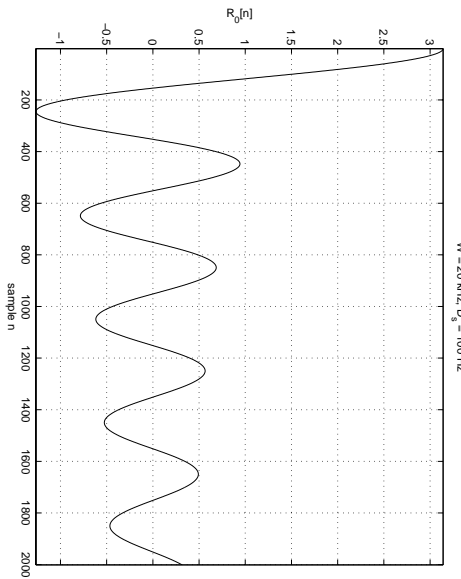
Διάλειψη Rayleigh (2)

- Το πλότος $|h_l[m]|$ ακολουθεί κατανομή Rayleigh με $\sigma.p.\pi.$ $f(x) = \frac{x}{\sigma_l^2} \exp\left(-\frac{x^2}{2\sigma_l^2}\right).$
- Το τετράγωνο του πλότους $|h_l[m]|^2$ είναι εκθετικό κατανευμένο. $f(x) = \frac{1}{\sigma_l^2} \exp\left(-\frac{x}{\sigma_l^2}\right).$
- Το μοντέλο Rayleigh είναι εφαρμόσιμο σε περιβάλλοντα όπου υπάρχουν πολλοί μικροί αναλαστήρες (non-Line of Sight (non-LOS) περιβάλλοντα). Ωστόσο, χρησιμοποιείται συχνά ακόμα και όταν ο αριθμός των αναλαστήρων σχεδαστών είναι σχετικά μικρός, λόγω της απλότητάς του.

Μεταβολή των **taps** στο χρόνο

- Για να περιγράψουμε πλήρως το κανάλι χρειαζόμαστε και την αυτοσυσχέτηση κάθε tap l , $R_l[n] = E\{h_l^*[m]h_l[m+n]\}$ (θεωρούμε ότι οι $h_l[m]$ είναι WSS και ανεξάρτητες από τις $h_k[m]$).

- Η $R_l[n]$ εξαρτάται από το κανάλι και την ταχύτητα του πομπού/θέκτη/εμποδίων. Εάν έχουμε 1 tap (**flat fading**) και πολλά προσπίπτοντα μονοπάτια ίσης ενέργειας a^2 με ομοιόμορφη γωνία πρόσπτωσης, $R_0[n] = a^2 \pi J_0(n\pi D_s/W)$, όπου $J_0(\cdot)$ η συνάρτηση Bessel πρώτου είδους, μηδενικής τάξης και $D_s = 2f_c v/c$ η διασπορά Doppler (**Clarke's model**).



Μεταβολή των **taps** στο Χρόνο (2)

- Εναλλακτικός ορισμός multipath spread T_d : $\frac{L}{W}$, όπου L η τιμή για την οποία $\sum_{l=0}^L R_l[0] \approx \sum_{l=0}^{\infty} R_l[0]$, δηλαδή ο αριθμός των taps που περιέχουν σχεδόν όλη την ενέργεια του καναλιού.
- Εναλλακτικός ορισμός χρόνου συμφωνίας T_c : Η μικρότερη τιμή του n για την οποία το $R_l[n]$ διαφέρει σημαντικά από το $R_l[0]$.

Mουτέλα Rice, Nakagami-m

- Μουτέλα Rice: Για κανάλια στα οποία υπάρχει και ένα μονοπάτι οπτικής επαφής (LOS).
$$h_l[m] = \sqrt{\frac{\kappa}{\kappa+1}}\sigma_l e^{j\theta} + \sqrt{\frac{1}{\kappa+1}}\mathcal{CN}(0, \sigma_l^2).$$
 κ : *K-factor*: Ο λόγος της ενέργειας του μονοπάτιού LOS δια της ενέργειας στα σκεδασμένα μονοπάτια.
- Μουτέλο Nakagami-m: Βασισμένη σε πειραιματικά δεδομένα. Μουτελοποιεί κάποια κανάλια με μεγαλύτερη ακρίβεια. Μπορεί να μουτελοποιήσει και κανάλια με 'χειρότερες' διαδείξεις από τη Rayleigh.

Μετάδοση στο ασύρματο κανάλι

- Στατιστικές μοντέλα καναλιού
- Μετάδοση στο ασύρματο κανάλι.
 - Tse & Viswanath, Ch.3
 - Proakis, Ch 14

Μετάδοση στο ασύρματο κανάλι

- Λόγω των διαλεξίφεων, η μετάδοση δια μέσου ενός καναλιού αυητών επικοινωνιών απαιτεί μεγαλύτερη ισχύ σε σχέση με ένα μη μεταβαλλόμενο κανάλι.
- Αυτό ισχύει ακόμα και στην περίπτωση που γνωρίζουμε το κανάλι σε κάθε χρονική στιγμή.
- Δηλαδή, η μείωση της απόδοσης οφείλεται κυρίως στο γεγονός ότι το κανάλι μεταβάλλεται και όχι στη μη τέλεια εκτίμηση καναλιού.
- Φυσικά, η ακριβής εκτίμηση καναλιού συμβάλλει στο να επιτευχθεί η βέλτιστη δυνατή μετάδοση.

Παράδειγμα: **BPSK**

- Εστω κανόνι AWGN με σταθερό SNR. Γνωρίζουμε ότι, για μετάδοση BPSK, $P_e = Q\left(\frac{d_{\min}}{2\sigma}\right) = Q\left(\frac{2\sqrt{\mathcal{E}_x}}{2\sigma}\right) = Q(\sqrt{\overline{\text{SNR}}})$.
- Έστω, τώρα, μετάδοση BPSK σε κανόνι Rayleigh, flat fading με $E[|h|^2] = 1$. Δηλαδή, $y[m] = h[m]x[m] + n[m]$. Υποθέτουμε ότι ο δέκτης γνωρίζει την ακριβή τιμή όλων των (μηγαδικών) $h[m]$. Επίσης, στο δέκτη, $\overline{\text{SNR}} \triangleq E[\text{SNR}]$.
- Προσαρμοσμένο φίλτρο: $h^*[m]$. Επομένως, $r[m] \triangleq \Re\left\{\frac{h^*[m]}{|h[m]|}y[m]\right\} = |h[m]|x[m] + z[m]$, $z \sim \mathcal{N}(0, \mathcal{N}_0/2)$.
- Αποδεικνύεται ότι $P_e = E_h[P_{e|h}] = \frac{1}{2} \left(1 - \sqrt{\frac{\overline{\text{SNR}}}{2 + \overline{\text{SNR}}}}\right) \approx \frac{1}{2\overline{\text{SNR}}}$.
- Το κανόνι διαλείψεων έχει πολύ χειρότερη απόδοση σε σχέση με το κανόνι AWGN!

Γιατί η μεγάλη διαφορά απόδοσης;

- Σε ένα κανάλι AWGN η πυθανότητα σφάλματος εξαρτάται μόνο από την πυθανότητα ο γκαουστανός θόρυβος να υπερβεί την τιμή $d_{\min}/2$.
- Όταν ένα κανάλι με διαλείψεις έχει μεγάλο στιγματικό κέρδος $h[m]$, η πυθανότητα σφάλματος οφείλεται σε εξαιρετικές περιπτώσεις μεγάλου θορύβου δεδομένου ότι η 'ουρά' της $Q(\cdot)$ έχει μικρό εμβαδόν.
- Ωστόσο, όταν το κανάλι έχει μικρό στιγματικό κέρδος, η d_{\min} είναι ίδιας τάξης μεγέθους με την τυπική απόκλιση του θορύβου, με αποτέλεσμα η $Q(\cdot)$ να παίρνει μεγάλες τιμές.
- Η πιθανότητα το στιγματικό κέρδος του καναλιού να είναι μικρό ώστε $|h[m]|^2 \text{SNR} = 1$ ισούται με $\int_0^{1/\text{SNR}} e^{-x} dx \approx \frac{1}{\text{SNR}}$.
- Επομένως, στα κανάλια διαλείψεων έχουμε 2 φανόρμενα: θόρυβο AWGN και διαλείψεις. Η πιθανότητα μεγάλης διάλειψης (**deep fades**) καθορίζει, στην ουσία, την πυθανότητα λάθους.
- Όσο καλός και να είναι ο δέκτης δε μπορούμε να κόνουμε τίποτα κατά τη διάρκεια των **deep fades!** (δεδομένου του καναλιού $y[m] = h[m]x[m] + n[m]$)

Πώς μπορούμε να ελαττώσουμε την P_e σε κανάλια με διαλείψεις;

- Ένας τρόπος είναι να δημιουργήσουμε με κάποιο τρόπο αυτίγραφα του ίδιου σήματος \Rightarrow τεχνικές διαφορισμού (**diversity**).
 - Διαφορισμός στο χρόνο (**time diversity**): Μετάδοση σε περισσότερες από μια χρονικές συγχρές ώστε να εκμεταλλεύμαστε διαφορετικές τιμές των $h[m]$.
 - Διαφορισμός στη συχνότητα (**frequency diversity**): Μετάδοση σε περισσότερες από μια περιοχές του φάσματος (στην περίπτωση έχουμε **multipath** και, επομένως, **frequency-selective fading**) ώστε να εκμεταλλεύμαστε διαφορετικές τιμές της απόχρισης συχνότητας $H(f, m)$.
 - Διαφορισμός στο χώρο (**space diversity**): Χρήση περισσότερων από μία κεραμών στου πολυπό (**MISO**), στο δέκτη (**SIMO**) ή και στους δύο (**MIMO**) ώστε να έχουμε περισσότερα από ένα κανάλια.

Πώς μπορούμε να ελαττώσουμε την P_e σε κανάλια με διαλείψεις; (2)

- Επίσης, μπορούμε να μεταδώσουμε πιο 'έξυπνα' στον πομπό: Να αποφύγουμε τις 'κακές', περιοχές του καναλιού και να κατανείμουμε την ισχύ που εξουκονομείται στις 'καλές', περιοχές.
- Αποδεικνύεται ότι για $SNR \rightarrow \infty$ η χωρητικότητα του καναλιού **Rayleigh 1 tap** υπολείπεται κατά 0.83 bits/s/Hz (-2.5 dB) του καναλιού **AWGN**.
- Αντίθετα, για πολύ μικρά SNR η χωρητικότητα υπερβαίνει αυτή του καναλιού **AWGN** γιατί η πολύ περιορισμένη ενέργεια που διαθέτουμε χρησιμοποιείται μόνο όταν το στυγματό κέρδος του καναλιού είναι πολύ μεγάλο.
- Πρόβλημα: Καθυστέρηση. Ενδέχεται να μην έχουμε την πολυτέλεια να περιμένουμε μέχρι να εμφανιστεί καλό κανάλι (ειδικά για πολύ μικρά SNR).

Διαφορισμός Χώρου (**space/antenna diversity**)

- Τα συστήματα MIMO επιτυγχάνουν και κάτι περισσότερο: Εάν τα κανάλια που δημιουργούνται είναι ανεξάρτητα Rayleigh, ένα σύστημα $N_t \times N_r$ όπου N_t και N_r ο αριθμός κεραμών στον πομπό και στο δέκτη, αντίστοιχα, έχει χωρητικότητα $\min(N_t, N_r)$ φορές μεγαλύτερη από αυτή του συστήματος SISO.
- Επομένως, με τα συστήματα MIMO αυξάνουμε τους βαθμούς ελευθερίας (degrees of freedom) του συστήματος.
- Μάλιστα, σε πολλές περιπτώσεις μπορούμε να ‘ανταλλάξουμε’ βαθμούς ελευθερίας με κέρδος λόγω διαφορισμού (diversity gain).